

## Релаксация поля директора в форме бегущей волны в нематических твистовых ячейках

© А.В. Захаров, А.А. Вакуленко

Институт проблем машиноведения Российской академии наук,  
199178 Санкт-Петербург, Россия

E-mail: avak@microm.ipme.ru

(Поступила в Редакцию 12 марта 2007 г.

В окончательной редакции 1 августа 2007 г.)

Исследуется ориентационная релаксация поля директора к его равновесному положению в форме бегущей волны. Показано, что нелинейный режим релаксации в форме бегущей волны может возникнуть в нематической твистовой ячейке (НТЯ) при определенных условиях, налагаемых как на величину внешнего электрического поля, так и на величины материальных констант, характеризующих нематический жидкий кристалл. Расчет релаксационных процессов в виде бегущих волн показал, что такие нелинейные режимы реализуются в НТЯ лучше, если начальное возмущение директора инициировано вблизи одной из ограничивающих поверхностей ячейки.

PACS: 61.30.Cz, 64.70.Md

Одной из наиболее изученных проблем физики жидких кристаллов (ЖК) является проблема деформаций поля директора в нематических ЖК-ячейках [1]. Однако до сих пор остаются некоторые нерешенные проблемы, например, такие как проблема релаксации поля директора в нематических твистовых ячейках (НТЯ) в форме нелинейных волн. НТЯ являются неотъемлемым элементом плоских ЖК-дисплеев, используемых в ноутбуках и персональных компьютерах, изучение новых релаксационных механизмов, возникающих в таких ячейках, продиктовано запросами ЖК-нанотехнологий и поэтому является актуальным.

Нематическая твистовая ячейка представляет собой ЖК-каплю, помещенную между двумя параллельными поверхностями, разделенными спейсорами и расположенными таким образом, что директор на верхней поверхности ячейки  $\hat{n}_+$  ориентирован под прямым углом в положению директора на нижней поверхности  $\hat{n}_-$ , при этом ориентация директора остается всегда в плоскости, параллельной обеим ограничивающим поверхностям. При отсутствии внешнего поля под действием только поверхностных ван-дер-ваальсовых сил в такой НТЯ устанавливается линейное распределение поля директора, характеризующееся азимутальным углом  $\Phi = \frac{\pi}{2} z$  [2]. Здесь  $\Phi$  — азимутальный угол, образованный директором  $\hat{n}$  и осью  $x$ , также принадлежит этой плоскости, в то время как ось  $z$  направлена перпендикулярно ограничивающим поверхностям, а начало отсчета системы координат начинается с нижней поверхности НТЯ (рис. 1). Под действием внешнего электрического поля  $\mathbf{E} = E\mathbf{j}$ , направленного параллельно обеим ограничивающим поверхностям вдоль оси  $y$ , происходит переориентация поля директора в сторону внешнего поля  $\mathbf{E}$ . При этом возникает несколько режимов релаксации поля директора  $\hat{n}$  к его равновесному положению  $\hat{n}_{eq}$ , направленному вдоль электрического поля  $\mathbf{E}$  [2]. До сих пор при исследовании механизмов релаксации поля директора в НТЯ основное внимание было уделено описанию

линейных механизмов релаксации [3] или нелинейных, но не в форме бегущих волн  $\Phi(z - vt)$ . Эти механизмы подразумевают переориентацию директора в плоскости  $x - y$ , параллельной обеим ограничивающим поверхностям, из начального возмущенного по всему объему состояния в конечное равновесное состояние. В настоящей статье будет показано, что вращательные моменты, действующие на единичный элемент нематического жидкого кристалла (НЖК), могут возбуждать бегущие волны  $\Phi(z - vt)$ , распространяющиеся вдоль оси  $z$ , направленной перпендикулярно обеим ограничивающим поверхностям. При этом критическое значение внешнего поля  $E_{cr}$ , при котором возможно возникновение нелинейных механизмов релаксации поля директора, в  $\pi$  раз меньше величины порогового значения электрического поля Фредерикса [1]  $E_{th} = \frac{\pi}{d} \sqrt{\frac{K_2}{\epsilon_0 \epsilon_a}}$ , соответствующего нетвистовой ячейке той же толщины  $d$ . Отметим, что пороговое поле Фредерикса  $E_{th}$  нетвистовой ячейки — это то поле, начиная с которого возникает деформация поля директора в ячейке при условии, что направления

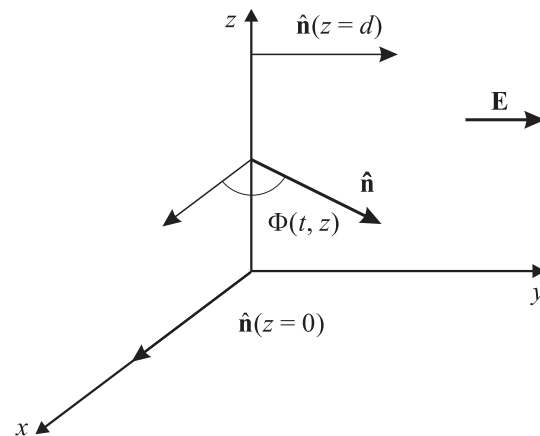


Рис. 1. Геометрия нематической твистовой ячейки.

ориентаций  $\hat{\mathbf{n}}_+$  и  $\hat{\mathbf{n}}_-$  на обеих ограничивающих поверхностях совпадают [1]. В настоящей статье представлено исследование нелинейного механизма релаксации поля директора  $\hat{\mathbf{n}}$  в форме бегущей волны, возникающей в НТЯ под действием внешнего электрического поля  $\mathbf{E}$ .

Динамическое уравнение, описывающее ориентационные деформации в НТЯ, основано на балансе упругих  $\mathbf{T}_{\text{elast}}$ , электрических  $\mathbf{T}_{\text{el}}$  и гидродинамических  $\mathbf{T}_{\text{vis}}$  моментов, действующих на единичный элемент твистовой ячейки. Поскольку директор  $\hat{\mathbf{n}} = (n_x(t, z), n_y(t, z), 0) = (\cos \Phi(t, z), \sin \Phi(t, z), 0)$  остается все время в плоскости  $(x - y)$ , а все пространственные зависимости физических величин, вовлеченных в динамический процесс переориентации директора, сведены к зависимости только от расстояния  $z$ , отсчитываемого от нижней ограничивающей поверхности, выражение для баланса моментов принимает вид [2]

$$\gamma_1 \Phi_t(t, z) = K_2 \Phi_{zz}(t, z) + \Delta \sin 2\Phi(t, z), \quad (1)$$

$\Phi_t(t, z) = \partial \Phi(t, z) / \partial t$ ,  $\Phi_{zz}(t, z) = \partial^2 \Phi(t, z) / \partial z^2$ ,  $\Delta = \epsilon_0 \epsilon_a E^2 / 2$ ,  $\epsilon_0$  — диэлектрическая проницаемость вакуума,  $\epsilon_a = \epsilon_{\parallel} - \epsilon_{\perp}$  — коэффициент диэлектрической анизотропии,  $\epsilon_{\parallel}$  и  $\epsilon_{\perp}$  — коэффициенты диэлектрической проницаемости НЖК параллельно и перпендикулярно направлению директора  $\hat{\mathbf{n}}$ , а  $\gamma_1$  — коэффициент вращательной вязкости НЖК. В уравнении (1) левая часть соответствует вкладу в баланс моментов, обусловленному гидродинамическим моментом  $\mathbf{T}_{\text{vis}}$ , в то время как два остальных члена обусловлены упругим  $\mathbf{T}_{\text{elast}}$  и электрическим  $\mathbf{T}_{\text{el}}$  вкладами в баланс моментов. Гидродинамический вклад в форме  $\mathbf{T}_{\text{vis}} = -\gamma_1 \Phi_t(t, z) \mathbf{k}$  подразумевает, что переориентация директора  $\hat{\mathbf{n}}$  не сопровождается движением точек в НЖК, и уравнение Навье–Стокса для поля скоростей следует рассматривать независимо от уравнения баланса моментов (1).

В случае жесткого сцепления ЖК-молекул с ограничивающими поверхностями баланс моментов, перенесенный на эти поверхности, дает граничные условия

$$\Phi(t, z)_{z=0} = 0, \quad \Phi(t, z)_{z=d} = \frac{\pi}{2}, \quad (2)$$

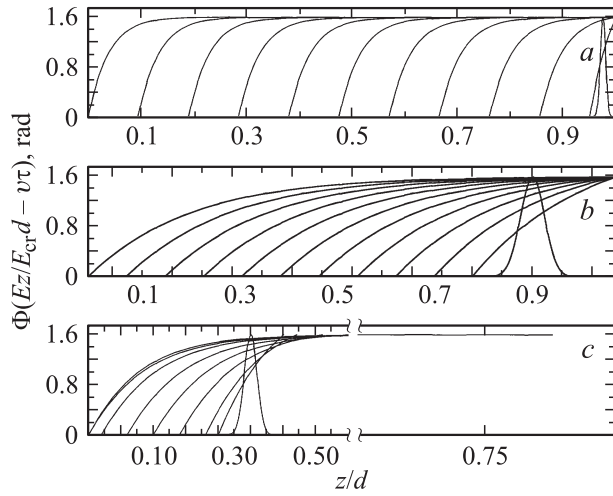
где  $d$  — толщина НТЯ. Начальное условие предполагает, что в момент времени  $t = 0$  директор сориентирован ортогонально (вдоль оси  $x$ ) направлению внешнего поля  $\mathbf{E} = E\mathbf{j}$  в форме гауссова распределения  $\Phi(0, z) = \varphi(z_1, \sigma)$  со средним  $z_1$  и среднеквадратичным отклонением  $\sigma$ , а затем директору позволено релаксировать к равновесному положению, направленному вдоль электрического поля  $\mathbf{E}$ . Поскольку в нашем случае поле  $\mathbf{E} = E\mathbf{j}$  параллельно оси  $y$ , фронт волны  $\Phi(z - vt)$  начинает двигаться от одной границы твистовой ячейки ( $z = d$ ), где директор сориентирован вдоль оси  $y$ , к другой ( $z = 0$ ), где директор сориентирован параллельно оси  $x$ . Отметим, что начальное возмущение в форме гауссова распределения  $\varphi(z_1, \sigma)$  может быть достигнуто с помощью сфокусированного лазерного импульса [4]. В связи с этим возникает несколько вопросов, например как быстро фронт бегущей волны будет распростра-

няться в НТЯ и каково влияние электрического поля и граничных условий на сходство бегущей волны с кинкоподобной волной. На эти и другие вопросы ответ можно получить с помощью численного решения нелинейного уравнения (1) с соответствующими начальными и граничными условиями. Прежде всего минимальная скорость  $v_m$ , с которой возможно распространение бегущей волны, может быть определена посредством подстановки  $\Phi(z - vt) \sim \exp\left[-E \sqrt{\frac{\epsilon_0 \epsilon_a}{K_2}} (z - vt)\right]$  в линейризованное уравнение (1) [2]. В результате получаем, что минимальная скорость  $v_m = 2 \sqrt{\frac{\epsilon_0 \epsilon_a K_2}{\gamma_1^2}} E$  пропорциональна величине электрического поля  $E$  и такая волна может сформироваться в НТЯ толщиной не меньше чем  $\kappa = \sqrt{\frac{K_2}{\epsilon_0 \epsilon_a}} \frac{1}{E}$ . Таким образом, если величина электрического поля больше или равна  $E_{\text{cr}} = \frac{1}{d} \sqrt{\frac{K_2}{\epsilon_0 \epsilon_a}} = \frac{E_{\text{th}}}{\pi}$ , то бегущая волна с минимальной скоростью  $v_m$  сформируется в НТЯ толщиной в  $\kappa$ , где  $\kappa = d E_{\text{cr}} / E$ . Для того чтобы исследовать эту проблему подробнее, перепишем уравнение (1) в безразмерном виде

$$\Phi_{\tau}(\tau, \bar{z}) = \Phi_{\bar{z}\bar{z}}(\tau, \bar{z}) + \frac{1}{2} \sin 2\Phi(\tau, \bar{z}), \quad (3)$$

где  $\tau = \frac{\epsilon_0 \epsilon_a E^2}{\gamma_1} t$  — безразмерное время, а  $\bar{z} = \sqrt{\frac{\epsilon_0 \epsilon_a E^2}{K_2}} z \equiv \frac{z}{\kappa}$  — безразмерная координата.

Следует отметить, что ряд проблем может быть описан с помощью диффузионного уравнения  $\Phi_{\tau} = \Psi_{\bar{z}\bar{z}} + f(\Psi)$ , где  $f(\Psi)$  нелинейный функционал, характеризующийся, как минимум, двумя положениями равновесия [5,6]. В конце 30-х годов Колмогоровым и др. [7] было показано, что строго локализованное начальное возмущение может асимптотически эволюционировать в форме бегущей волны  $\Phi(z - vt)$  от одного положения равновесия (неустойчивого) к другому (устойчивому). Это состояние реализуется для широкого класса функционалов  $f(\Psi)$  при одном условии: чтобы выполнялось  $f(0) = 0$  и  $f'(0) = 0$ . При этом скорость распространения бегущей волны удовлетворяет неравенствам  $2 \sqrt{\left[\frac{\partial f(\Psi)}{\partial \Psi}\right]_{\Psi=0}} \leq v \leq 2 \sqrt{\left[\sup_{\Psi \in [0,1]} \frac{f(\Psi)}{\Psi}\right]}$ . В предельном случае эта скорость равна 2 и бегущая волна распространяется в бесконечном интервале  $(-\infty, +\infty)$ . Но в нашем случае мы имеем дело с ограниченным интервалом  $[0, 1]$ , и бегущая волна сначала должна сформироваться (режим I), а затем распространяться от одного края ячейки ( $z = d$ ) к другому ( $z = 0$ ) (режим II) со скоростью  $v \geq v_m$ . Таким образом, наша цель — изучить численными методами процесс формирования бегущей волны в ограниченном пространстве и исследовать влияние, которое оказывают внешнее поле и граничные условия на величину времени релаксации  $\tau_R$  начального возмущения поля директора к его равновесному значению. В движущейся системе координат  $q = \bar{z} - v\tau \equiv \frac{E}{E_{\text{cr}}} \frac{z}{d} - v\tau$  — безразмерное уравнение,



**Рис. 2.** *a)* Эволюция азимутального угла  $\Phi(\frac{E}{E_{cr}} \frac{z}{d} - v\tau)$  от верхней ограничивающей поверхности твистовой ячейки к нижней, рассчитанная с помощью уравнения (4), при условии жесткого сцепления молекул ЖК с обеими поверхностями (5) и значении внешнего электрического поля  $E/E_{cr} = 10$ . При этом начальное гауссово возмущение имеет параметры  $q_3 = 9.75$  и  $\sigma = 0.25$ . *b)* То же, что на части *a*, при  $E/E_{cr} = 2.2$ ,  $q_3 = 2.0$  и  $\sigma = 0.02$ . *c)* То же, что на части *a*, в случае другого положения начального возмущения  $\Phi(0, q) = \varphi(q_3, \sigma)$ ,  $q_3 = 1.3$  и  $\sigma = 0.25$ .

описывающее эволюцию азимутального угла к равновесному значению и соответствующее уравнению (3), примет вид

$$v\Phi_q(\tau, q) + \Phi_{qq}(\tau, q) + \frac{1}{2} \sin 2\Phi(\tau, q) = \Phi_\tau(\tau, q). \quad (4)$$

Релаксация директора  $\hat{\mathbf{n}}$  к его равновесному положению  $\hat{\mathbf{n}}_{eq}$  будет описываться эволюцией угла  $\Phi(\tau, q)$ . Начальное возмущение, выбранное перпендикулярно направлению электрического поля  $\mathbf{E}$ , принимает вид  $\Phi(0, q) = \varphi(q_3, \sigma)$ , где  $\varphi(q_3, \sigma)$  — гауссиан со средним  $q_3$  и среднеквадратичным отклонением  $\sigma$  ( $(q_1 + q_2)/2 < q_3 \leq q_2$ ), и локализовано вблизи верхней ограничивающей поверхности  $q_2 = E/E_{cr} - v\tau$ . Граничные условия (2) и начальное условие записываются в виде

$$\Phi(\tau, q)_{q=q_1} = 0, \quad \Phi(\tau, q)_{q=q_2} = \pi/2,$$

$$\Phi(\tau, q)_{\tau=0} = \frac{1}{\sqrt{2\pi}} \exp\left(-\frac{(q - q_3)^2}{2\sigma^2}\right). \quad (5)$$

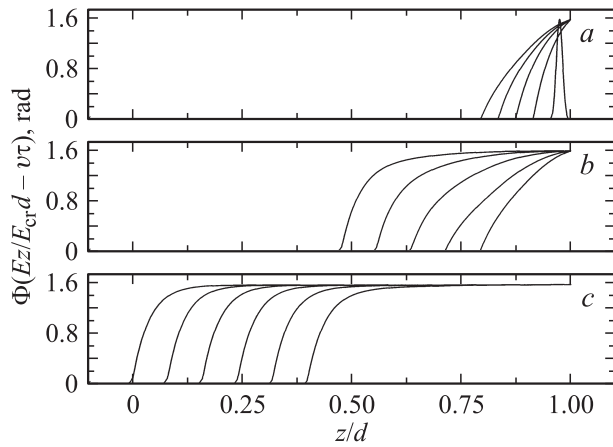
Здесь  $q_1 = -v\tau$  соответствует положению нижней ограничивающей поверхности, а точка  $q_3$  выбрана так, что находится вблизи  $q_2$ . Решение уравнения (4) с начальными и граничными условиями (5) было получено методом релаксации [7], при этом критерий релаксации директора был выбран в виде  $\epsilon = |(\Phi(\tau_R) - \Phi_{eq})/\Phi_{eq}|$ ; вычислительный процесс прекращался при достижении  $\epsilon = 10^{-4}$ . Результаты вычислений для ряда динамических режимов представлены

на рис. 2. Во всех этих случаях начальное возмущение директора  $\Phi(0, q) = \varphi(q_3, \sigma)$  было выбрано перпендикулярно границам ячейки, при этом величина электрического поля изменялась от значения  $E = 10.0E_{cr}$  (рис. 2, *a*) до значения  $E = 2.2E_{cr}$  (рис. 2, *b*). При этом скорость бегущей волны, распространяющейся вдоль нормали к обеим поверхностям, была равна  $v = 2$ . Следует отметить, что с ростом величины электрического поля  $E$  возрастало сходство бегущей волны с кинкоподобной волной, характеризующейся постоянным профилем. Вычисления показали, что начальное возмущение  $\Phi(0, q) = \varphi(q_3, \sigma)$  при наличии сильного поля  $E \geq 10.0E_{cr}$  трансформируется под действием электрического, упругого и гидродинамического моментов в кинкоподобную волну (рис. 2, *a*). Рассмотрим теперь случай слабого сцепления молекул ЖК с ограничивающими поверхностями. Сильное сцепление директора сохраняется на верхней поверхности ячейки  $\hat{\mathbf{n}}_+$ , в то время как на нижней реализуется случай слабого сцепления, при этом энергия сцепления записывается в форме [1]  $W_{az} = \frac{1}{2} A \sin^2(\Phi_s - \Phi_0)$ , где  $A$  — плотность энергии сцепления, а углы  $\Phi_s$  и  $\Phi_0$  отвечают азимутальным углам положения директора на нижней поверхности  $\hat{\mathbf{n}}_-$  и ориентации легкой оси ориентирования  $\hat{\mathbf{e}}$  соответственно. При этом баланс моментов, перенесенный на нижнюю поверхность, дает граничное условие в виде

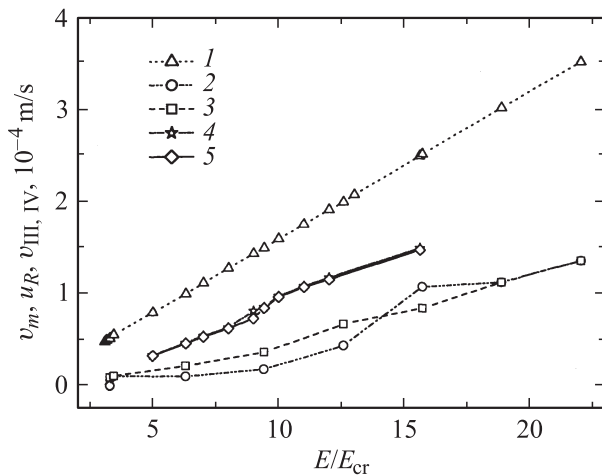
$$\frac{\partial \Phi(\tau, q)}{\partial q} \Big|_{q=q_1} = \frac{A\kappa}{2K_2} \sin 2\Delta\Phi, \quad (6)$$

$$\Phi(\tau, q)_{q=q_2} = \pi/2,$$

где  $\Delta\Phi = \Phi_s - \Phi_0$ . Для случая молекул 4-*n*-октил-4'-цианобифенил (8ЦБ) при температуре  $T = 307$  К вдали от температуры фазового перехода нематик-смектик А ( $T_{NA} \sim 313$  К) значение коэффициента упругости равно  $K_2 \sim 8$  рН [8], а значение коэффициента  $A$  варьируется между  $10^{-4}$  и  $10^{-6}$  Дж/м<sup>2</sup>. В случае, когда  $\Delta\Phi \leq 10^\circ$  [2] и толщина НТЯ  $d \sim 10$  мкм, комбинация  $A\kappa \sin(2\Delta\Phi)/2K_2$  варьируется между значениями 0.1 и 1.0. Результаты вычислений показали, что величина плотности энергии  $A$  слабо влияет на время релаксации директора  $\tau_R$  к его равновесному положению. Так, с ростом величины  $A\kappa \sin(2\Delta\Phi)/2K_2$  на один порядок, с 0.1 до 1.0, безразмерное время релаксации  $\tau_R$  возросло всего на 0.01 (с 5.87 до 5.88 соответственно), а для случая жесткого сцепления ЖК-молекул с обеими поверхностями это время составило  $\sim 5.94$ . Необходимо также отметить, что в нашем случае релаксационный режим может быть разделен на два этапа. Первый этап (I) соответствует релаксации начального возбуждения  $\Phi(0, q) = \varphi(q_3, \sigma)$  к состоянию, когда бегущая волна превращается в кинкоподобную волну (рис. 3, *a* и *b*), в то время как на втором этапе (II) сформировавшаяся кинкоподобная волна, характеризующаяся постоянным профилем и скоростью пробега, завершает релаксацию директора к его равновесному положению (рис. 3, *c*). Вычисления показали, что время, которое система тратит на



**Рис. 3.** Три стадии эволюции азимутального угла  $\Phi(q)$  в НТЯ рассчитанные с помощью уравнения (4) и граничных условий (6), параметр  $Ak \sin(2\Delta\Phi)/2K_2 = 1.0$ , электрическое поле  $E/E_{cr} = 10$ .



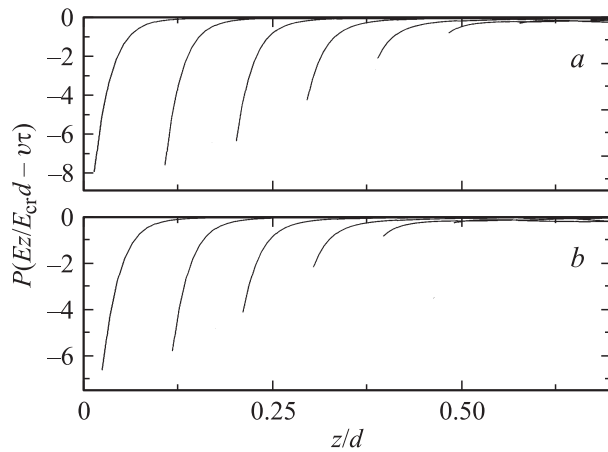
**Рис. 4.** Скорости релаксации директора к равновесному положению в зависимости от величины электрического поля  $E/E_{cr}$ . 1 — минимальная скорость движения кинкоподобной волны  $v_m$  от верхней границы НТЯ к нижней, 2 и 3 — средние скорости релаксации директора  $v_{III,IV}$ , соответствующие твистовой и нетвистовой ориентации директора на поверхностях НТЯ, 4 и 5 — средняя скорость релаксации директора в НТЯ  $u_R$  при условии слабого и жесткого сцепления молекул НЖК с поверхностями ячейки соответственно.

формирование кинкоподобной волны ( $\tau_1 + \tau_2 \sim 3.56$  (режим I), рис. 3, *a* и *b*), больше, чем время пробега кинкоподобной волны ( $\tau_3 \sim 2.31$  (режим II), рис. 3, *c*) до достижения равновесной ориентации. Таким образом, общее время релаксации системы состоит из двух вкладов и равно  $\tau_R = \tau_1 + \tau_2 + \tau_3 \sim 5.87$ . Это позволяет рассчитать среднюю размерную скорость релаксации директора  $u_R = d/t_R = \frac{\epsilon_0 \epsilon_a E^2 d}{\gamma_1 \tau_R}$  к его равновесному положению. Прежде всего величина средней скорости релаксации пропорциональна  $E^2$ , размеру ячейки  $d$  и обратно пропорциональна величине коэффициента

вращательной вязкости  $\gamma_1$ . Результаты расчета величины средней скорости релаксации директора  $u_R$  к его равновесному положению в зависимости от величины электрического поля  $E$  приведены на рис. 4. Факт слабого влияния величины плотности энергии сцепления  $A$  на среднюю скорость релаксации директора  $u_R$  в зависимости от величины поля  $E$  отражен в поведении кривых 4 и 5 (рис. 4). Незначительное расхождение в значениях  $u_R$ , рассчитанных для случаев слабого  $Ak \sin(2\Delta\Phi)/2K_2 = 1.0$  (рис. 4, кривая 4) и сильного (рис. 4, кривая 5) сцеплений молекул ЖК-фазы с ограничивающими поверхностями, отмечено лишь при значениях электрического поля  $E \sim 9.0E_{cr}$ . Кривая 1 (рис. 4) соответствует значению минимальной скорости распространения кинкоподобной волны в НТЯ ( $v_m$ ). Таким образом, из-за потерь, обусловленных формированием кинкоподобной волны, соответствующей режиму I ( $\tau_1 + \tau_2$ ), общая средняя скорость  $u_R$  примерно в 1.5 раза ниже минимальной скорости  $v_m$ . На рис. 4 представлены также результаты сравнения исследованных скоростей  $v_m$  и  $u_R$  со скоростями распространения релаксационных режимов, рассчитанных не в форме бегущей волны  $\Phi(z - \nu\tau)$ , а в форме обычного релаксационного режима  $\Phi(\tau, z)$ , исследованного в работе [2]. Полученные в этой работе времена релаксации как для случая сильного сцепления молекул ЖК-фазы с обеими ограничивающими поверхностями в форме  $\Phi(\tau, 0) = 0, \Phi(\tau, d) = \pi/2$  (режим III), так и в форме  $\Phi(\tau, 0) = \Phi(\tau, d) = 0$  (режим IV) позволили нам рассчитать среднюю скорость релаксации  $v_{III,IV} = d/t_{III,IV}$  в зависимости от величины внешнего поля  $E$ . Результаты этих расчетов представлены на рис. 4 кривыми 2 и 3 соответственно. Величины этих скоростей  $v_{III,IV}$  оказались примерно в 3 раза ниже значений минимальной скорости пробега кинкоподобной волны. Важно отметить, что положение начального возмущения  $\Phi(0, q) = \varphi(q_3, \sigma)$  влияет на механизм формирования бегущей волны и таким образом на величину времени релаксации директора.

Так, если начальное возмущение находилось вблизи нижней границы  $q_1 < q_4 \leq (q_1 + q_2)/2$  (рис. 1, *c*), релаксационный режим в форме бегущей волны достигал нижней границы ячейки и дальнейшая эволюция протекала в релаксационном режиме  $\Phi(\tau, z)$ . В случае же положения начального возмущения вблизи верхней границы после формирования бегущей волны, характеризующегося динамическим режимом I, эта волна достигала нижней границы ячейки в динамическом режиме II (рис. 2, *b*). В первом случае (рис. 1, *c*) время, необходимое для того, чтобы директор достиг равновесной ориентации под действием электрического поля  $E = 10.0E_{cr}$  при значении  $Ak \sin(2\Delta\Phi)/2K_2 = 1.0$ , равно 5.91, в то время как во втором случае (рис. 2, *b*) оно равно 5.88.

Процесс релаксации директора к его равновесному положению также удобно описывать с помощью диссипационной функции  $D$  [3], которая в случае квазидвумерной геометрии и учета только твистовых деформаций принимает вид  $D(q) = \Phi_\tau^2(q)$ . Давление  $P$  ( $P > 0$  —



**Рис. 5.** Эволюция профиля давления  $P$  от верхней поверхности ячейки к нижней, рассчитанная с помощью выражения (7) для двух режимов релаксации.  $a$  — жесткое сцепление (5),  $b$  — слабое сцепление (6) молекул ЖК с обеими поверхностями НТЯ. В обоих случаях  $E/E_{cr} = 10$ , а начальное возмущение директора инициировано вблизи верхней границы НТЯ,  $q_3 = 9.75$ .

сжатие) в такой системе может быть записано в виде проинтегрированного уравнения Навье–Стокса

$$P(q) = P_{el}(q) - P_{elast}(q) - \int_0^q \frac{\partial D(q)}{\partial \Phi_\tau} \Phi_q(q) dq, \quad (7)$$

где  $P_{el}(q) = \frac{1}{2} \sin^2 \Phi(q)$  и  $P_{elast}(q) = -\frac{1}{2} \Phi_q^2(q)$  — вклады в полное выражение для давления  $\bar{P}$ , обусловленные электрическими и упругими силами. С учетом выражения для диссипационной функции  $D(q)$  и уравнения (3) получим окончательное выражение для давления в НТЯ  $P(q) = -\Phi_q^2(q)$ . Результаты расчетов для случаев жесткого (5) и слабого (6) граничных сцеплений молекул ЖК с ограничивающими поверхностями и наличия внешнего электрического поля  $E = 10.0E_{cr}$  в зависимости от  $q = \frac{E}{E_{cr}} \frac{z}{d} - vt$  представлены на рис. 5. Результаты расчетов показали, что благодаря влиянию электрического поля  $E$  абсолютная величина  $P(q)$  быстро растет практически с 0 до 8 в случае сильного сцепления молекул ЖК-фазы с ограничивающими поверхностями (рис. 5,  $a$ ) и до 6.5 в случае слабого сцепления (рис. 5,  $b$ ). Безразмерные величины  $P(q) = 8$  и  $P(q) = 6.5$  отвечают размерным значениям  $\frac{K_2}{\kappa^2} P(q)$ , равным 64 и 52 pN/ $\mu\text{m}^2$  соответственно. Расчеты также показали, что профиль давления  $P(q)$ , вычисленный с учетом баланса вкладов, обусловленных упругими, электрическими и гидродинамическими силами, эволюционирует, начиная с верхней ограничивающей поверхности и достигая нижней поверхности за время релаксации  $\tau_R$ . Это как раз то время, которое система тратит на переориентацию начального возмущения под действием внешнего поля к равновесной ориентации директора. Физически это означает, что в случае формирования релаксационного режима в форме бегущей волны  $\Phi(z - vt)$  начальное

возмущение поля директора вблизи верхней ограничивающей поверхности достигает основания ячейки спустя время  $\tau_R$  и оказывает давление  $\sim 64$  pN/ $\mu\text{m}^2$  в случае жесткого сцепления ЖК-молекул с поверхностями или  $\sim 52$  pN/ $\mu\text{m}^2$  в случае слабого сцепления. Таким образом, эффект слабого сцепления молекул ЖК на нижней поверхности ячейки приводит к уменьшению давления  $\sim 17\%$  по сравнению со случаем сильного сцепления. Измерение ударного давления на нижней поверхности ячейки при заданных внешних условиях на НТЯ позволяет судить о реализации нелинейного релаксационного механизма в форме бегущей волны.

Экспериментальное наблюдение релаксационного режима в форме бегущей волны, по-видимому, возможно с помощью поляризационного микроскопа. Поскольку переориентация поля директора имеет место в очень узкой области ЖК-фазы (имеется в виду ширина бегущей волны), под действием внешнего электрического поля  $E \geq 10.0E_{cr}$  или  $2 \cdot 10^{-4}$  C/m<sup>2</sup> для случая НТЯ толщиной 10  $\mu\text{m}$  в поляризованном свете могут возникнуть темные бегущие полосы, представляющие собой не что иное как области переориентации поля директора. Учитывая то, что скорость этих полос  $\sim 100$   $\mu\text{m/s}$ , их легко можно зафиксировать с помощью обычной фотокамеры. В заключение следует отметить, что настоящее исследование релаксационных процессов, возникающих в НТЯ, применимо в области температур  $T$ , далеких от точек фазового перехода типа нематик–смектик  $A(T_{NA})$ . Вблизи температуры  $T_{NA}$  материальные коэффициенты  $K_2$  и  $\gamma_1$  демонстрируют аномальный рост величин [9], и как результат время релаксации неограниченно растет, а скорость процесса релаксации  $u_R$  стремится к нулю. Такое изменение времени релаксации  $\tau_R$  согласуется с результатами работы [2], в которой показано, что при  $T \rightarrow T_{NA}$   $\tau_R \sim \left( \frac{T_{NA}}{T - T_{NA}} \right)^{0.1}$ .

Мы надеемся, что настоящее исследование позволит лучше понять релаксационные процессы, протекающие в твистовых нематических ячейках.

## Список литературы

- [1] P.G. de Gennes, J. Prost. The physics of liquid crystals. Oxford University Press, Oxford (1995). 349 p.
- [2] A.V. Zakharov, A.A. Vakulenko. Phys. Rev. E **72**, 021 712 (2005).
- [3] I.W. Stewart. The static and dynamic continuum theory of liquid crystals. Taylor and Francis, London (2004). 345 p.
- [4] T. Matsui, M. Ozaki, K. Yoshino. Phys. Rev. E **69**, 061 715 (2004).
- [5] D.C. Aronson, H.F. Weinberger. Lect. Notes Math. **446**, 3 (1975).
- [6] W. van Saarloos. Phys. Rev. A **37**, 211 (1987).
- [7] И.С. Березин, Н.Р. Жидков. Методы вычислений. Физматгиз, М. (1964). 464 с.
- [8] P.P. Karat, N.N. Madhusudana. Mol. Cryst. Liq. Cryst. **40**, 239 (1977).
- [9] D. Kamada, K. Okimoto, A. Sugimura, G.R. Luckhurst, B.A. Timimi, H. Zimmermann. Mol. Cryst. Liq. Cryst. **441**, 129 (2005).